

# Non-linéarités géométriques

## Flambement

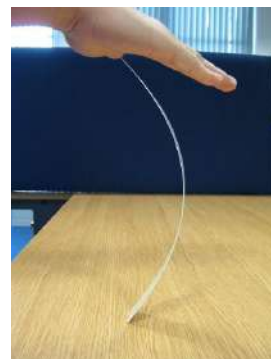
### Introduction

On s'intéresse aux **non-linéarités géométriques** en regardant le problème de **flambement** d'une poutre droite.

**Exemple de la règle :**

Si l'on prend une règle que l'on met en **compression**, au début la règle reste droite mais en augmentant lentement la force de compression  $F$  à partir d'une certaine valeur pour la force de compression ( $F > F_c$ ) on constate que la règle se dérobe à l'effet normal de compression en fléchissant transversalement.

Cette valeur  $F_c$  est appelée **charge de flambement** ou **charge critique de flambement**.



Tous les éléments de structure **longs et minces** ont des comportements similaires en compression. La **charge de flambement**  $F_c$  est alors un élément fondamental pour le **dimensionnement** de certaines structures.



flambement thermique d'un rail  
de chemin de fer



flambement d'une colonne  
génie-civil

Le flambement peut conduire brutalement à la rupture d'une structure élancée

2

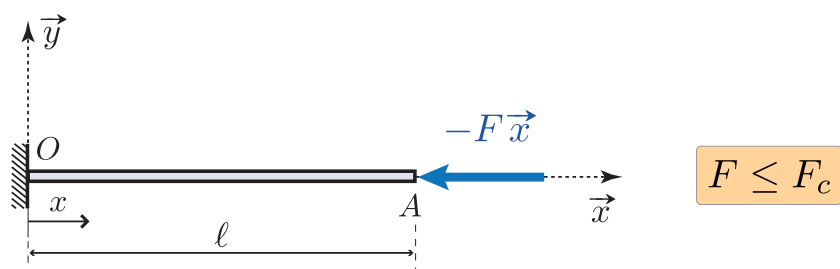
### Cadre de l'étude :

L'étude du flambement fait appel aux **non-linéarités de type géométrique** (grands déplacements et grandes rotations), toutefois on reste dans le **cadre des petites déformations** et la **loi de comportement reste linéaire** (pas de non-linéarités matérielles).

## Problème de flambement d'Euler



On considère une poutre droite élastique **flexible** (grands déplacements et grandes rotations) et **inextensible** (sa longueur reste inchangée) soumise à une force de compression  $-F \vec{x}$ .

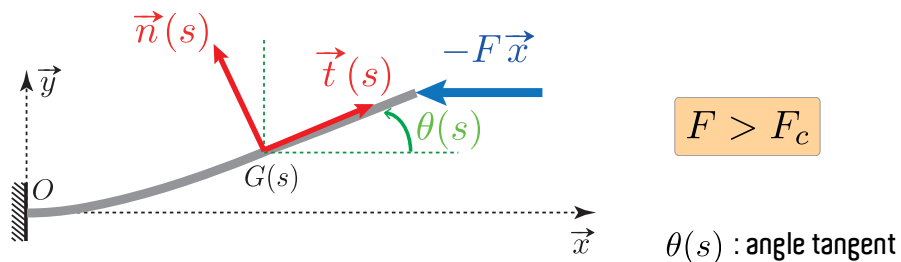


Son extrémité  $O$  est encastree. La section droite est supposée constante, le poids propre de la poutre est négligé et le matériau est homogène.

3

Les déplacements ne sont plus considérés comme petits

⇒ les équations d'équilibre contrairement aux chapitres précédents doivent être écrites sur la **configuration actuelle** ou **configuration déformée** et non sur la configuration de référence non déformée.



Equations d'équilibre :

$$\frac{d\vec{\mathcal{R}}(s)}{ds} + \vec{f}(s) = \vec{0} \Rightarrow \vec{\mathcal{R}}(s) = \vec{C} = \vec{\mathcal{R}}(\ell) = -F\vec{x}$$

$$\frac{d\vec{\mathcal{M}}(s)}{ds} + \vec{t}(s) \wedge \vec{\mathcal{R}}(s) = \vec{0} \quad \text{avec} \quad \vec{t}(s) = \frac{d\vec{OG}}{ds} = \cos \theta(s) \vec{x} + \sin \theta(s) \vec{y}$$

4

$$\frac{d\vec{\mathcal{M}}(s)}{ds} + (\cos \theta(s) \vec{x} + \sin \theta(s) \vec{y}) \wedge (-F\vec{x}) = \vec{0}$$

pour un problème plan  $\vec{\mathcal{M}}(s) = M_z(s) \vec{z}$

donc en projetant suivant  $\vec{z}$  on obtient :

$$\frac{dM_z(s)}{ds} + F \sin \theta(s) = 0$$

d'après la loi de comportement linéaire :  $M_z(s) = EI_{Gz} \gamma_z(s) = EI_{Gz} \frac{d\theta(s)}{ds}$

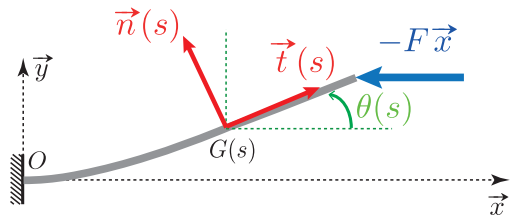
**Rq :** si la configuration initiale est une poutre courbe de courbure  $C_0$  alors

$$M_z(s) = EI_{Gz} (\gamma_z(s) - C_0)$$

ici on part de la **configuration initiale droite** et comme le **matériau** est **homogène** :

$$EI_{Gz} \frac{d^2\theta(s)}{ds^2} + F \sin \theta(s) = 0$$

5



Conditions aux limites :

en  $s = 0$  encastrement :  $\theta(0) = 0$

en  $s = \ell$  libre d'effort :  $M_z(\ell) = EI_{Gz} \frac{d\theta(\ell)}{ds} = 0$  d'où  $\theta'(\ell) = 0$

Le problème non-linéaire (**Elastica**) à résoudre est donc :

$$(\mathcal{P}) \quad \frac{d^2\theta(s)}{ds^2} + \frac{F}{EI_{Gz}} \sin \theta(s) = 0 \quad \forall 0 < s < \ell$$

$$\theta(0) = 0 \quad \text{et} \quad \theta'(\ell) = 0$$

**Résolution complète complexe**

6

### Calcul des charges critiques et modes de flambement :

Pour le calcul de la charge critique de flambement, il n'est pas nécessaire de résoudre le problème non-linéaire ( $\mathcal{P}$ ), on peut le **linéariser** au voisinage de  $\theta(s) = 0$  étant solution du problème.

Le problème non-linéaire ( $\mathcal{P}$ ) devient alors  $(\mathcal{P})_b$  : **problème de bifurcation**

$$\sin \theta(s) \approx \theta(s)$$

$$(\mathcal{P})_b \quad \frac{d^2\theta(s)}{ds^2} + \frac{F}{EI_{Gz}} \theta(s) = 0 \quad \forall 0 < s < \ell$$

$$\theta(0) = 0 \quad \text{et} \quad \theta'(\ell) = 0$$

$(\mathcal{P})_b$  est un problème aux **valeurs propres** avec la force  $F$  la valeur et  $\theta(s)$  le **mode propre**.

7

Solution de  $(\mathcal{P})_b$  :

$$\frac{d^2\theta(s)}{ds^2} + \frac{F}{EI_{Gz}}\theta(s) = 0$$

$$\theta(s) = A \cos\left(\sqrt{\frac{F}{EI_{Gz}}}s\right) + B \sin\left(\sqrt{\frac{F}{EI_{Gz}}}s\right)$$

or  $\theta(0) = 0$  donc  $A = 0$  soit  $\theta(s) = B \sin\left(\sqrt{\frac{F}{EI_{Gz}}}s\right)$

$$\theta'(\ell) = 0 \text{ donc } B \cos\left(\sqrt{\frac{F}{EI_{Gz}}}\ell\right) = 0 \begin{cases} B = 0 \text{ (solution triviale)} \\ \cos\left(\sqrt{\frac{F}{EI_{Gz}}}\ell\right) = 0 \end{cases}$$

$$\Rightarrow \sqrt{\frac{F_n}{EI_{Gz}}}\ell = (2n-1)\frac{\pi}{2} \text{ avec } n \in \mathbb{N}^*$$

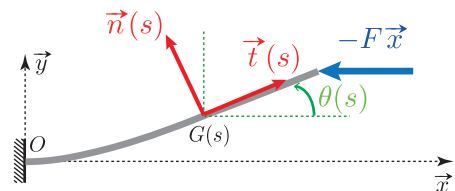
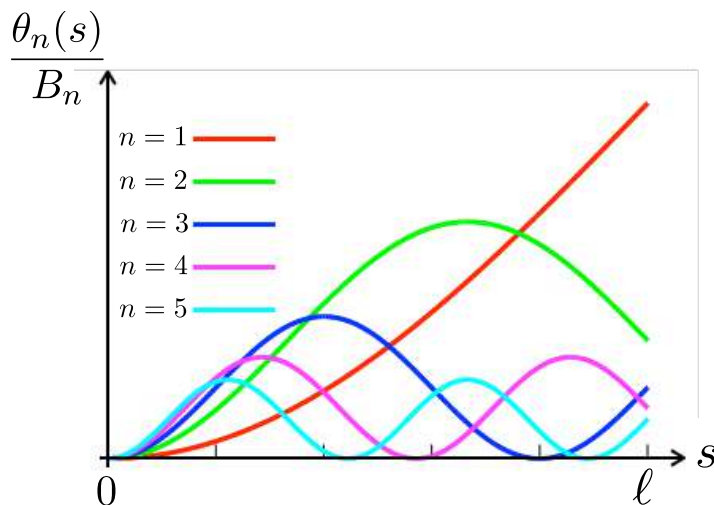
d'où  $\frac{F_n}{EI_{Gz}} = \frac{(2n-1)^2\pi^2}{4\ell^2}$  donc  $F_n = \frac{(2n-1)^2\pi^2}{4\ell^2}EI_{Gz}$  avec  $n \in \mathbb{N}^*$

charge critique de flambement d'ordre  $n$

8

Le mode propre associé est  $\theta_n(s) = B_n \sin\left(\frac{(2n-1)\pi}{2\ell}s\right)$

mode de flambement associé avec  $B_n \in \mathbb{R}$  arbitraire



**Rq :** Le mode de flambement donne seulement l'allure de la forme flambée **au voisinage de la charge de flambement**. L'amplitude et la forme exactes de la forme flambée déterminées lorsque le problème non-linéaire sera complètement résolu.

9

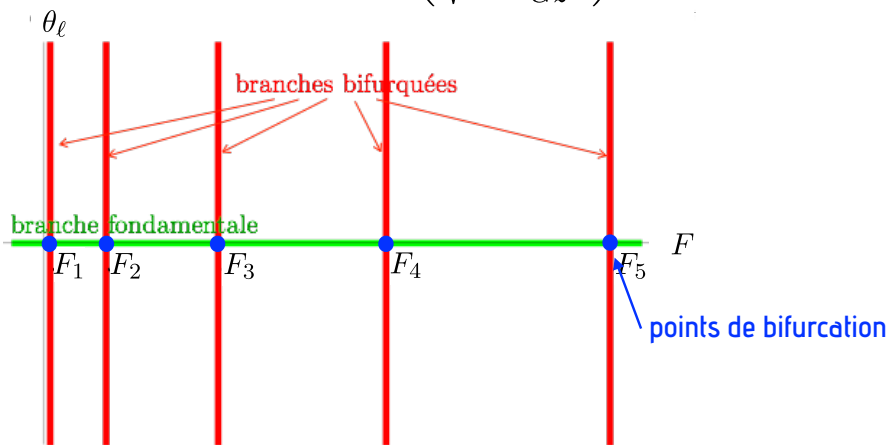
## Diagramme de bifurcation :

On va regarder ce qui se passe en  $s = \ell$  :  $\theta(\ell) = \theta_\ell = B \sin \left( \sqrt{\frac{F}{EI_{Gz}}} \ell \right)$

$$\theta(\ell) = 0 \longrightarrow B = 0 : \theta_\ell = 0 \text{ (branche fondamentale)}$$

$$\theta'(\ell) = 0 \longrightarrow \cos \left( \sqrt{\frac{F}{EI_{Gz}}} \ell \right) = 0 \text{ pour } F_n = \frac{(2n-1)^2 \pi^2}{4\ell^2} EI_{Gz}, n \in \mathbb{N}^*$$

(branches bifurquées)



**Rq :** Les branches bifurquées ne sont que des approximations (linéarisation) des vraies branches bifurquées. Seuls les points de bifurcation sont exacts.

$$F_n = \frac{(2n-1)^2 \pi^2}{4\ell^2} EI_{Gz} \text{ avec } n \in \mathbb{N}^* \quad \text{charge critique de flambement d'ordre } n$$

$$\Rightarrow F_1 = \frac{\pi^2}{4\ell^2} EI_{Gz}, F_2 = \frac{9\pi^2}{4\ell^2} EI_{Gz}, \dots$$

En pratique seule la 1ère charge critique (ici  $F_1$ ) peut être supportée par la poutre.

La plus faible valeur de  $F$  est désignée par  $F_c$ .

Elle correspond à la charge de flambement, ici  $F_c = \frac{\pi^2}{4\ell^2} EI_{Gz}$

**Rq :**  $F_c \nearrow$  si  $EI_{Gz} \nearrow$  ou  $\ell \searrow$

On peut atteindre dans certains cas la **seconde charge de flambement** (ou les suivantes) en imposant des conditions aux limites supplémentaires. Par exemple en empêchant le déplacement transverse au centre de la poutre.



Résolution du problème complet non-linéaire :

$$(\mathcal{P}) \quad \begin{cases} \frac{d^2\theta(s)}{ds^2} + \frac{F}{EI_{Gz}} \sin \theta(s) = 0 \\ \theta(0) = 0 \quad \text{et} \quad \theta'(\ell) = 0 \end{cases} \quad \forall 0 < s < \ell$$

Calcul de l'intégrale 1ère :

$$\frac{d\theta(s)}{ds} \left[ \frac{d^2\theta(s)}{ds^2} + \frac{F}{EI_{Gz}} \sin \theta(s) \right] = 0$$

$$\frac{1}{2} \left( \frac{d\theta(s)}{ds} \right)^2 - \frac{F}{EI_{Gz}} \cos \theta(s) = \text{cste} \quad \forall s$$

On sait que :  $\theta(\ell) = \theta_\ell$  et  $\theta'(\ell) = 0 \Rightarrow -\frac{F}{EI_{Gz}} \cos \theta_\ell = \text{cste}$

$$\frac{1}{2} \left( \frac{d\theta(s)}{ds} \right)^2 = \frac{F}{EI_{Gz}} (\cos \theta(s) - \cos \theta_\ell)$$

$$\frac{d\theta(s)}{ds} = \pm \sqrt{\frac{2F}{EI_{Gz}}} \sqrt{\cos \theta(s) - \cos \theta_\ell}$$

12

$$\frac{d\theta(s)}{\sqrt{\cos \theta(s) - \cos \theta_\ell}} = \pm \sqrt{\frac{2F}{EI_{Gz}}} ds \quad \text{avec} \quad \theta(0) = 0$$

$$\int_0^\theta \frac{d\bar{\theta}}{\sqrt{\cos \bar{\theta} - \cos \theta_\ell}} = \pm \sqrt{\frac{2F}{EI_{Gz}}} s$$

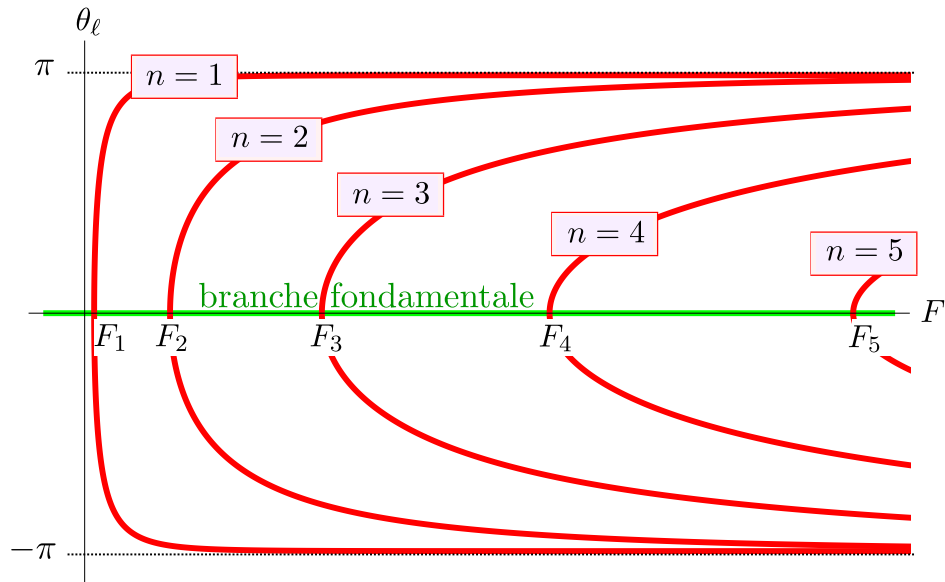
en  $s = \ell$  :

$$\int_0^{\theta_\ell} \frac{d\bar{\theta}}{\sqrt{\cos \bar{\theta} - \cos \theta_\ell}} = \pm \sqrt{\frac{2F}{EI_{Gz}}} \ell$$

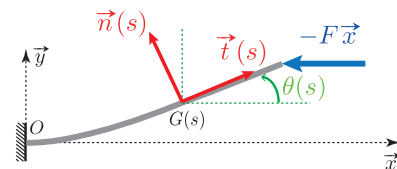
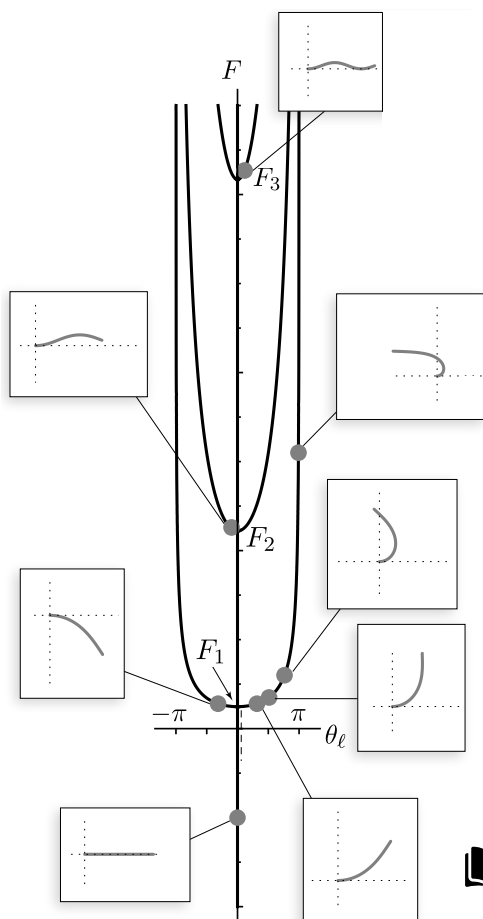
relation entre la force appliquée  $F$  et  $\theta_\ell$  qui se résout par exemple via une **méthode de tir**

$\Rightarrow$  diagramme de bifurcation pour le problème non-linéaire complet

13



- Pas de branche pour les  $F < 0$ . Le flambement d'une poutre ne peut avoir lieu qu'en compression.
- Chaque branche coupe la branche fondamentale au point de bifurcation trouvé dans l'analyse linéaire.
- Branches symétriques  $\Rightarrow$  poutre peut flamber aussi bien pour  $\pm \theta_\ell$ .
- Si  $F \leq F_c$  : la poutre reste rectiligne; si  $F \geq F_c$  : flexion  $\perp$  à l'axe de la section droite
- Toutes les branches convergent vers  $\pm \pi$  quand  $F$  tend vers  $+\infty$



$$\vec{t}(s) = \frac{d\vec{OG}}{ds} = \cos \theta(s) \vec{x} + \sin \theta(s) \vec{y}$$

Après résolution du problème, on obtient la configuration d'équilibre par une simple intégration :

$$\vec{OG}(s) = \left( \int_0^s \cos \theta(\zeta) d\zeta \right) \vec{x} + \left( \int_0^s \sin \theta(\zeta) d\zeta \right) \vec{y}$$



## Influence des conditions aux limites :

On prend maintenant le cas de la **poutre bi-articulée**

On part de :  $\theta(s) = A \cos \left( \sqrt{\frac{F}{EI_{Gz}}} s \right) + B \sin \left( \sqrt{\frac{F}{EI_{Gz}}} s \right)$

Conditions aux limites :

en  $s = 0$  :  $M_z(0) = EI_{Gz} \frac{d\theta(0)}{ds} = 0$  d'où  $\theta'(0) = 0$

en  $s = \ell$  :  $M_z(\ell) = EI_{Gz} \frac{d\theta(\ell)}{ds} = 0$  d'où  $\theta'(\ell) = 0$

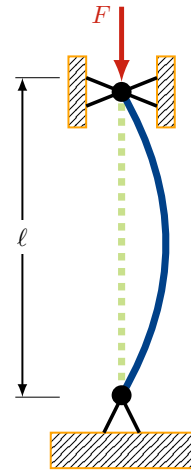
comme :  $\theta'(s) = \sqrt{\frac{F}{EI_{Gz}}} \left\{ -A \sin \left( \sqrt{\frac{F}{EI_{Gz}}} s \right) + B \cos \left( \sqrt{\frac{F}{EI_{Gz}}} s \right) \right\}$

$\theta'(0) = 0 \Rightarrow$

$B = 0$

$\theta'(\ell) = 0 \Rightarrow$

$A \sin \left( \sqrt{\frac{F}{EI_{Gz}}} \ell \right) = 0 \begin{cases} A = 0 \text{ (solution triviale)} \\ \sin \left( \sqrt{\frac{F}{EI_{Gz}}} \ell \right) = 0 \end{cases}$



16

$\sin \left( \sqrt{\frac{F}{EI_{Gz}}} \ell \right) = 0 \Rightarrow \sqrt{\frac{F_n}{EI_{Gz}}} \ell = n\pi \text{ avec } n \in \mathbb{N}^*$

donc  $F_n = \frac{n^2 \pi^2}{\ell^2} EI_{Gz}$  avec  $n \in \mathbb{N}^*$  charge critique de flambement d'ordre  $n$  pour la poutre bi-articulée

$\Rightarrow F_c = F_1 = \frac{\pi^2}{\ell^2} EI_{Gz}$

Le mode de flambement associé  $\theta_n(s) = A_n \cos \left( \frac{n\pi}{\ell} s \right)$  avec  $A_n \in \mathbb{R}$  arbitraire

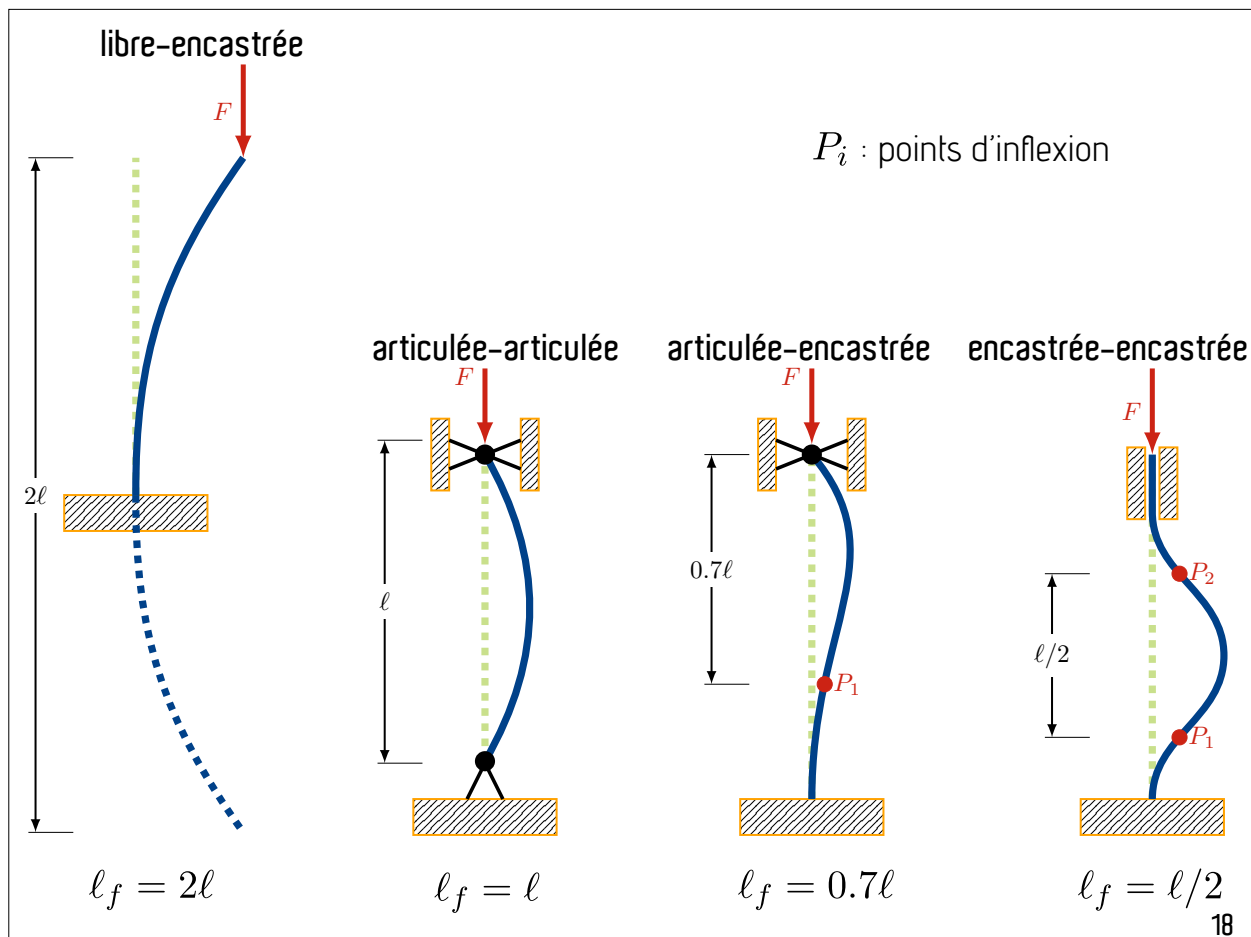
On veut généraliser les résultats établis pour la poutre bi-articulée aux poutres dont les conditions aux limites sont différentes en posant :

$F_c = \frac{\pi^2}{\ell_f^2} EI_{Gz}$

$\ell_f$  : **longueur de flambement** qui dépend de la nature des liaisons aux extrémités

$\ell_f$  : la plus grande distance séparant 2 points d'articulation ou d'inflexion réelle ou virtuelle de la fibre moyenne

17



### Contrainte critique d'Euler :

A la force critique correspond une **contrainte critique**  $\sigma_c$ .

Pour une poutre parfaitement rectiligne, effort centré et matériau homogène :

$$\sigma_c = \frac{F_c}{S} = \frac{\pi^2 E I_{Gz}}{\ell_f^2 S} \Rightarrow \sigma_c = \frac{\pi^2 E}{\lambda^2} \quad \text{avec} \quad \lambda = \frac{\ell_f}{r_z} \quad \text{élancement}$$

$\lambda$  quantifie la sensibilité au flambement

$$\text{ou} \quad r_z = \sqrt{\frac{I_{Gz}}{S}} \quad \text{rayon de giration}$$

Si  $\sigma_c < \sigma_\ell$  ( $\sigma_\ell$  contrainte limite élastique)

pas de risque de flambement  $\Rightarrow$  dimensionnement se fait en compression simple

Si  $\sigma_c > \sigma_\ell$  ruine par flambement dès que  $\sigma$  atteindra  $\sigma_c$

Pour  $\sigma_c = \sigma_\ell$  on obtient l'**élancement critique**  $\lambda_c$

$$\sigma_\ell = \frac{\pi^2 E}{\lambda_c^2} \Rightarrow \lambda_c = \pi \sqrt{\frac{E}{\sigma_\ell}} \quad \text{dépend des caractéristiques mécaniques du matériau}$$

valeur à partir de laquelle la poutre doit être dimensionnée en flambement

### Cas réel (imperfections) :

En réalité, la charge n'est jamais parfaitement centrée, le matériau n'est pas complètement homogène, la poutre n'est pas totalement rectiligne : il existe toujours des **imperfections**

